

2022

Effect of Genetic - Environment Interactions for Grain Yield Trait of Some Genotypes of Bread Wheat in Syria, تأثير التفاعل البيئي لصفة الحبة الحبية في بعض الطرز الوراثية من القمح الوراثي لصفة الحبة الحبية في بعض الطرز الوراثية من القمح الطري في سوريا

Abdullatef Al-Assaf

Agriculture research center of Aleppo, Aleppo, Syria

Ahmad Shams Al-Dien Shaaban

Faculty of Technical Engineering, Univ. of Aleppo, Syria, Shaabany57@gmail.com

Abdallah Elyousef

Agriculture research center of Aleppo, Aleppo, Syria

Walid Alouk

General Commission for Scientific Agriculture Research (GCSAR), Administration of Field Crops Research, Damascus, Syria

Follow this and additional works at: <https://digitalcommons.aaru.edu.jo/aae>



Part of the Botany Commons

Recommended Citation

Al-Assaf, Abdullatef; Shaaban, Ahmad Shams Al-Dien; Elyousef, Abdallah; and Alouk, Walid (2022) "Effect of Genetic - Environment Interactions for Grain Yield Trait of Some Genotypes of Bread Wheat in Syria, تأثير التفاعل البيئي لصفة الحبة الحبية في بعض الطرز الوراثية من القمح الطري في سوريا," *Arab Journal of Arid Environments* Vol. 13: No. 1, Article 2.

Available at: <https://digitalcommons.aaru.edu.jo/aae/vol13/iss1/2>



تأثير التفاعل البيئي الوراثي لصفة الغلة الحبية في بعض الطرز الوراثية من القمح الطري في سوريا

Effect of Genetic - Environment Interactions for Grain Yield Trait of Some Genotypes of Bread Wheat in Syria

م. عبد اللطيف العساف⁽¹⁾ د. أحمد شمس الدين شعبان⁽²⁾ د. وليد العاك⁽³⁾

Abdullatef Al-Assaf⁽¹⁾

Dr. Ahmad Shams Al-Dien Shaaban⁽²⁾

Dr. Abdallah Elyousef⁽¹⁾

Dr. Waleed Alouk⁽³⁾

Shaabany57@gmail.com

(1) البحوث العلمية الزراعية، حلب، سوريا.

(1) Agriculture research center of Aleppo, Aleppo, Syria.

(2) كلية الهندسة التقنية، جامعة حلب، سوريا.

(2) Faculty of Technical Engineering, Univ. of Aleppo, Syria.

(3) الهيئة العامة للبحوث العلمية الزراعية، دمشق، سوريا.

(3) General Commission for Scientific Agriculture Research (GCSAR), Administration of Field Crops Research, Damascus, Syria.

الملخص

هدف البحث لتحليل التفاعل البيئي الوراثي لصفة الغلة للقمح الطري، باستخدام تحليل التأثيرات الأساسية التراكمية، والتفاعل المتعدد وتقييم الطرز الوراثية والبيئات (AMMI). زُرعت 24 سلالةً وصنفناً من القمح الطري في 13 موقعاً خلال الموسام الزراعي 2007/2008، 2008/2009 (2009). بينت النتائج أن التأثيرات الأساسية العائدة إلى التأثير البيئي والوراثي والتفاعل البيئي الوراثي كانت معنوية ($P < 0.01$) . وبين تحليل GGE Biplot إمكانية تمييز طرز وراثية ذات تكيف واسع، وأخرى ذات تكيف خاص، وأشار إلى إمكانية إيجاد مواقع ذات قدرة للتمييز بين الطرز الوراثية. فأمكن تحديد مجموعتين تؤثران بشكل مشابه في الطرز، إذ ضمت الأولى موقع حماة والرقعة وحمص والغاب والقامشلي، وضمت الثانية موقع جلين وكفر صندل وإزرع وتل حدياً وحران، فيما بقي موقع دير الزور وتل طير منفردین بتأثيرهما في الطرز، وتم تمييز موقع جلين والغاب وإزرع كموقع مثالية لاختبار الطرز على أساس وراثي، وتحديد مجموعة من الطرز الوراثية المتوفقة في الإنتاجية المستقرة وراثياً، مثل بحوث 6 و 48114. تقيد النتائج بإمكانية تحسين عملية انتخاب الطرز الوراثية باستخدام طريقتي التحليل AMMI و GGE Biplot تحت ظروف المواقع المختلفة التي تم فيها تجارب البيئات المتعددة.

الكلمات المفتاحية : القمح الطري، نموذج AMMI، تحليل GGE Biplot، التفاعل البيئي الوراثي، الثبات الوراثي.

Abstract

The aim of this investigation was to study the effect of GE-interactions of grain yield of bread wheat using the additive main effects and multiplicative interaction (AMMI) model. Twenty-four genotypes of bread wheat were sown at 13 locations for 3 growing seasons (2006/2007, 2007/2008 and 2008/2009). The results showed that main effects due to E, G, and GE interaction were found to be significant ($P < 0.01$). The GGE Biplot analysis distinguished genotypes with wide and specific adaptation to environments with high and low genotype discrimination ability. There were two groups of sites, first one included the locations of Hama, Raqqa, Homs, Ghab, and Kameshli, second group included Jellin, Kefer Sandel, Yahmoul, Izraa, Tel Hadya and Harran. Der Elzour and Tel Ter, each one has different effect on the genotypes. The sites Jellin, Izraa, AlGhab were found as optimum locations for testing the genotypes, in addition a group of genotypes surpassed in productivity with genetic stability have been distinguished like Bohouth₆ and Douma₄₈₁₁₄. Results showed the possibility of improvement the selection of bread wheat genotypes by applying AMMI model and GGE Biplot methodology in multi- Environment trials.

Keywords: Bread Wheat, AMMI Model, GGE Biplot Analysis, GE Interaction, Genetic Stability.

المقدمة

يُعد القمح *Triticum spp.* أحد أهم المحاصيل الغذائية في العالم، ويُستخدم حالياً في تغذية نحو 40 % من سكان العالم (Gupta وزملاؤه، 2008)، ويُزرع القمح بنوعيه الطري (*T. aestivum* L.) والقاسي (*T. turgidum* spp. *durum* L.) على مساحات شاسعة مقارنة بأي محصول آخر (Dixon وزملاؤه، 2009). ويُزرع غالباً تحت الظروف البعلية، إذ تتحسن البيئات التي يزرع بها بالتلقيبات المناخية من حيث كميات الهطولات المطرية وتوزعها.

وصلت المساحة المزروعة بالقمح في العالم عام 2013 إلى نحو 5208 مليون هكتار، أنتجت 713 مليون طن، بمتوسط إنتاجية قدره 203 كغ/هكتار (FAO، 2014)، وفي سوريا قدرت المساحة المزروعة بالقمح عام 2013 بنحو 1.3 مليون هكتار، أنتجت 3.1 مليون طن، بمعدل وسطي بلغ 2316 كغ.هـ⁻¹، وبلغت المساحة المزروعة بالقمح الطري نحو 683 ألف هكتار، أنتجت 1.5 مليون طن، وبمتوسط إنتاجية قدره 2298 كغ.هـ⁻¹، والمساحة المزروعة بالقمح القاسي لعام نفسه نحو 690 ألف هكتار، أنتجت 1.6 مليون طن، وبمتوسط إنتاجية قدره 2333 كغ.هـ⁻¹. ويُزرع القمح في سوريا على نطاق واسع في منطقتي الاستقرار الأولى والثانية (وبشكل محدود في منطقة الاستقرار الثالثة) مروياً أو بعلياً، وتنشر زراعته في مختلف المحافظات، وتُعد محافظات الحسكة والرقة وحلب الخزان الرئيس للقمح، إذ تنتج أكثر من 70 % من مجمل إنتاج القمح في سوريا (المجموعة الإحصائية الزراعية السنوية، 2014).

إن غلة الصنف هي نتيجة لتفاعل الطراز الوراثي (Genotype) مع البيئة (Environment) التي ينمو فيها، لذا فإن أداء الطرز الوراثية الذي يتباين في البيئات المختلفة يعكس التفاعل الوراثي مع البيئة ($G \times E$)، وهذا التفاعل يحدُّ من كفاءة تحسين المحاصيل ويزيد من الصعوبات التي تواجه برامج التربية (Cooper وByth، 1996).

تُعد تجارب البيئات المتعددة (MET) Multi-Environment Trials عبر العالم ل معظم المحاصيل الرئيسية، وهناك مجموعة واسعة من الطرائق لتحليل تجارب البيئات المتعددة، ويختبر بها عدد كبير من التراكيب الوراثية والتي يتم من خلالها تفسير الاستجابة البيئية والوراثية والتفاعل البيئي الوراثي، وهدفت العديد من الطرق الإحصائية إلى تحليل الثبات، إذ يتم استخدام مخرجاتها في تقييم وانتخاب التراكيب الوراثية بواسطة دراسة التفاعل البيئي الوراثي، ويُعد أنموذج تحليل التأثيرات التراكمية والتفاعل المتعدد Additive Main Effect and Multiplicative Interaction (GE) ووسيلة تحليلية جيدة للتعامل مع مجموعة كبيرة من بيانات التفاعل البيئي الوراثي (AMMI) (Zobel، 1992؛ Gauch، 1988).

يتم في تحليل AMMI تقدير تأثير الطرز الوراثية والبيئة في وقت واحد، بشكل يسهل تفسير وتحديد التفاعل الخاص لكل منها، ويستخدم وصف التفاعل البيئي الوراثي في تحليل الـ AMMI من خلال استخدام بعض المؤشرات الإحصائية مثل معامل W^2 (Wricke، 1962)، وقيمة ثباتية "AMMI" ASVi "AMMI" Di "Purchase" (Purchase، 2000)، ومعامل ثباتية W (Zobel، 1992)، لتحديد استقرار الأداء الإنتاجي للطرز الوراثية ومدى استجابتها للتكييف الواسع والتكيف الخاص في تجارب البيئات المتعددة. استُخدم المعامل W^2 لتقدير قدرة البيئة على التمييز بين الطرز وإسهام البيئات في

التفاعل البيئي الوراثي (Burdon, 1977; Kleinschmit, 2005)، وفي حال أظهرت النتائج أن البيئة أو الطرز الوراثي ذو القيمة الأعلى بالنسبة لهذا المعامل، يُعد مؤشرًا بأنهما الأكثر إسهاماً في التفاعل البيئي الوراثي، بمعنى أن الطراز الأقل قيمة يُعد الأكثر استقراراً. وقد استخدم Fan وZmala (2001) المؤشرين ZD وASV، إذ اشتق هذان المقياسان من أنموذج تحليل AMMI، واستخدما لوصف إسهام البيئات والطرز الوراثية في التفاعل البيئي الوراثي، إذ يُعد الطراز الوراثي ذو القيمة المنخفضة في كل من ASV وZD الأكثر استقراراً من بين الطرز الوراثية المختلفة، وتستند قيم ASV على قيم محاور تحليل المكونات الأساسية PCA (Principal Component Analysis)، كما استخدم مفهوم Shukla في تحليل الاستقرار الوراثي للأصناف، وهو يعتمد على التقدير غير المتغير لتباين الاستقرار للطراز الوراثي عبر البيئات المختلفة، بعد حذف التأثير الرئيس للبيئة. ويستند تباين الاستقرارية على حساب مصروففة الأخطاء (GE+e).

قدم Yan وزملاؤه (2000) تقانة Biplot المعدلة باستخدام أنموذج انحدار الموقع لاختيار الأصناف ذات الأداء الأفضل في عدد من المواقع. وقد استخدم Hunt (2001) حزمة GGE Biplot لتحليل بيانات تجارب كفاءة أصناف القمح الشتوي في أونتاريو (USA)، للحصول على أول مكونين للتباين (PC1 وPC2)، وهي حزمة برمجية إحصائية تعتمد على دراسة الأثر الوراثي (G) والأثر المشترك البيئي الوراثي (GE) بشكل رسوم بيانية ثنائية الأبعاد (Biplot). إذ أوضحا أن من أهم فوائد تحليل GGE Biplot هو تحديد الطرز الوراثي ذو الإنتاج العالي والمستقر وراثياً، كذلك تحديد البيئات التي تعطي أفضل تمييز بين الطرز الوراثية، وتكون ممثلاً لبقية البيئات المدروسة. لقد درست تفاعلات الطرز الوراثية مع البيئة وذلك لتحديد الأصناف ذات الثبات الوراثي والبيئي داخل الموقع وعبر الواقع المتباينة (Wilkinson, Finlay, Wricke, 1962؛ Baker, Binns, Lin, 1988؛ Kang, 1988؛ Kang, 1993؛ Yan, 2001؛ Russell Eberhart, 1963 إلى مجموعات (Atlin, 1997؛ Zobel, Gauch, 2000؛ Trethowan, 2003؛ Yang, 2005).

فقد درس بعض الباحثين وبشكل نسبي تفاعل الطرز الوراثية مع الموقع لتحديد بيئات الاختبار الملائمة (Kang, 2003) من خلال استخدام GGE Biplot. وهدف الباحثان إلى دراسة تفاعل الطرز الوراثية مع البيئة بالنظر لقدرة التمييز (القدرة على التمييز بين الطرز الوراثية، والمقصود بذلك هو ذلك الموقع الذي يعطي أعظم تباين وراثي بين الطرز المدروسة للصفة المختبرة)، وتمثل الواقع المدروسة كدلالة لقياس ملائمة هذه الواقع لاختبار الطرز. إن كفاءة ودقة انتخاب الطرز للصفة المدروسة تزيد وبشكل كبير في الواقع ذات القدرة العالية على التمييز (التباين) بين الأصناف مقارنة بتلك الواقع ذات القدرة المنخفضة على التمييز، وبذلك فإن تحديد الواقع ذات القدرة العالية على التمييز بين الأصناف لصفة واحدة أو لمجموعة من الصفات ينبغي أن يأخذ الاهتمام الأكبر من قبل المربين.

هناك العديد من العوامل في هذه الواقع والتي تؤثر في تقييم الأصناف، ومن هذه العوامل الأمطار، وخواص التربة، والعوامل الأحيائية. إن العوامل الثابتة كتركيب التربة، ومحتهاها من المكونات والعوامل المتحركة العشوائية (مثل العناصر المناخية)، والتي لا يمكن التحكم بها كلها تؤثر في موقع الاختبار، وبالتالي فإن الواقع ذات القدرة العالية على التمييز بين الأصناف ينبغي أن تحوى على نظام ملائم من العوامل الثابتة والعشوائية، وبشكلية معقولة. وينبغي على مربي النبات أن ينفذ مرحلة الاختبار ومرحلة الانتخاب للأصناف في الواقع التي تزوده بمعلومات جيدة حول التمييز بين الأصناف لكل صفة (Lubbers, 2003)، بالإضافة إلى أن الموقع المثالي لاختبار ينبغي أن يقدم مستوىً عالٍ من التمييز بين الأصناف لكل صفة مدروسة، وينبغي أيضاً أن يكون ممثلاً لمنطقة زراعة الطرز الوراثية أو لمناطق الفرعية (Lubbers, 2003). ولتحديد أفضل موقع لاختبار، فإن الموقع الذي يتم اختياره ينبغي أن يكون ممثلاً لكل الواقع في منطقة الدراسة (Yan, 2001).

تُعدّ أبحاث تقييم الطرز الوراثية ضمن البيئات المتعددة قليلة في سوريا، فقد درس خضر وزملاؤه (2006) تحليل التباين البيئي الوراثي لصفة غلة الشعير لـ 181 طرازاً وراثياً في عشرة مواقع خلال خمس سنوات (من 2001 إلى 2005)، إذ بينت نتائج تحليل GGE Biplot إمكانية تحديد خمس مناطق فرعية تضم كل واحدة منها عدة مواقع متشابهة في تأثيرها في الطرز الوراثية، كما كان التفاعل بين الطرز الوراثية والواقع الرطب أقل منه في الواقع الجافة. كما نفذت تجربة من قبل خضر وزملائه (2007) لتحديد موقع الاختبار الملائم لتقدير الطرز الوراثية للشعير، وذلك في عشرة مواقع خلال الفترة من 2000 إلى 2006، استُخدم فيها أنموذج تحليل GGE Biplot، وكان موقع مدينة الباب (دورة شعير- بيكية أو كمون) هو الأكثر ملائمة لاختبار الطرز الوراثية سداً الحبوب لصفتي الغلة وزن 1000 حبة ولجميع الصفات المدروسة للطرز بغضّناء الحبوب، وموقع مدينة الباب (شعير- شعير) بالنسبة لصفة ارتفاع النبات للطرز سداً الحبوب، بالاستناد إلى قربه من موقع الاختبار المثالي، وقيمة الانحراف المعياري المنخفضة.

أما في مجال القمح الطري فقد كانت الدراسات أقل إذ قيم حكيم وزملاؤه (2010) التفاعل الوراثي البيئي، لطرز من القمح الطري، باستخدام تقانة GGE Biplot، في أربعة مواقع من سوريا، خلال الموسم 2008/2009، وتوصوا إلى أن موقع هيموكان أفضل البيئات من أجل تقييم الطرز

الوراثية في صفة عدد السنابل في المتر المربع، والصنف شام⁶ أفضل الطرز في هذه الصفة، وكان موقع يحمل الأفضل لانتخاب الطرز الوراثية لصفة عدد الحبوب في السنبلة، والصنف بحوث⁸ الأفضل في هذه الصفة، كما تبين أن الطرازين الوراثيين جولان² وأكساد⁹ كانوا الأفضل في الغلة الحبية، إذ جمعا الغلة العالية والثباتية عبر بीئات الاختبار.

أهداف البحث:

يعد قطاع الزراعة في سوريا أهم القطاعات التي تدعم الأمن الغذائي، وتسعى سورية دائمًا لتحقيق الاكتفاء الذاتي من القمح، وتأمين احتياطي يكفي للسنوات القادمة، لذلك يسعى الباحثون دائمًا باتجاه تحسين إنتاج القمح بالحصول على الأصناف المتكيفة والمستقرة وراثياً، وذات الإنتاجية العالية. وعلىه هدف البحث إلى:

1. تقييم الطرز الوراثية والبيئات، والتفاعل البيئي الوراثي، باستخدام المؤشرات الإحصائية بوساطة تحليل التفاعل البيئي الوراثي لصفة الغلة لطرز وراثية من القمح الطري، باستخدام تحليل التأثيرات الأساسية التراكيمية والتفاعل المتعدد، وهو ما يعرف بأنموذج (AMMI).
2. تحديد إمكانية وجود مناطق متشابهة التأثير في الطرز الوراثية للقمح الطري باستخدام تحليل Biplot GGE، الذي يعتمد على تحليل المكونات الأساسية للتفاعل.
3. تحديد موقع الاختبار المثالي لتقييم الطرز الوراثية لسلالات وأصناف القمح الطري في سوريا.

مواد البحث وطرقه

المادة التجريبية وتصميم التجربة:

تم اختيار 24 طرازاً وراثياً من القمح الطري تم ترميزها من G1 إلى G24، وذلك لكل من الأصناف التالية: بحوث⁶، شام⁶، سلالات دوما¹⁰، دوما⁴، دوما³⁴، دوما⁵، دوما⁸³، دوما⁹⁰، دوما⁴، شام⁴، سلالات دوما¹⁴، دوما¹¹⁶، دوما⁴⁸¹¹⁵، دوما⁴⁸¹¹⁶، دوما⁴⁸¹⁴⁵، دوما²²⁸، دوما⁴⁸⁰⁹⁶، دوما⁴⁸⁰³⁴، دوما⁴⁸²³²، دوما⁴⁸³²⁴، دوما⁴⁸³³⁵، دوما⁴⁸³⁷⁵، دوما⁴⁸⁴¹⁶، دوما⁴⁸⁴⁸⁵، دوما²، دوما¹⁰ على التوالي.

زرعت الطرز الوراثية السابقة في ثلاثة عشر موقعاً، تمثل موقع اختبار الطرز الوراثية في الهيئة العامة للبحوث العلمية الزراعية، ومناطق زراعة القمح الطري في سوريا، وهذه الواقع هي: حمص وحماة والرقة ودير الزور ممثلة للزراعة المروية، وجلين والغاب وكفر صندل ويحمل والقامشلي ممثلة للزراعة البعلية في منطقة الاستقرار الأولى، وإزرع وحران وتل حديا للزراعة البعلية في منطقة الاستقرار الثانية، وتل طير في الحسكة ممثلة للزراعة البعلية في منطقة الاستقرار الثالثة.

اختبرت الطرز الوراثية تحت ظروف الزراعة البعلية والمروية، لمدة ثلاثة مواسم زراعية (2006/2007، 2007/2008 و2008/2009). وضفت التجارب وفق تصميم القطاعات العشوائية الكاملة، وبثلاثة مكررات، وبلغت مساحة القطعة التجريبية في كل موقع 3.75 م² (6 سطور، طول السطر 2.5 م، المسافة بين السطور 20 سم) ، وحول الإنتاج الحبي من إنتاج في القطعة التجريبية إلى إنتاج كغ.ه⁻¹.

التحليل الإحصائي:

نُفذ تحليل AMMI Zobel حسب (1988)، بحيث تُحدد المسافة لكل طراز وراثي، ولكل بيئة من المركز الذي حدد بوساطة أول محورين لـ PCA (Principle Component Analysis)، اللذين يشرحان التباين باتجاهين مختلفين استخدما لاستخراج Biplots. وقد استخدم تحليل PCA أيضاً كمؤشر لقياس الاستقرار الوراثي لوصف استجابة كل من الطرز الوراثية والبيئات (Grausgruber وزملاؤه، 2000). تعرض القيمة المطلقة لعلامات المحور الأول من تحليل PCA أبسط قياس لاستقرار الطراز الوراثي بطريقة AMMI (Annicchiarico، 1997).

يعد الطراز الوراثي أكثر استجابة للبيئات المختلفة، عندما تكون قيم PCA كبيرة، وقد تكون هذه الاستجابة سالبة أو موجبة. استناداً إلى نتائج تحليل AMMI فإن المسافة للقيمة الإحصائية D ترمز للطرز الوراثية المختبرة بالرمز Di (Zhang وزملاؤه، 1998)، ولبيئات الاختبار بالرمز Dj (Fan وزملاؤه، 2001). إذ أن Di تعبّر عن المسافة التي تفصل بين النقطة التي تعبّر عن الطراز الوراثي ومركز مكونات التفاعل في الفراغ إنّ هذه المسافة الإحصائية تعطي تقديراً للتفاعل البيئي الوراثي الذي يسهم فيه كل طراز وراثي وكل موقع. وإن القيمة الأكبر لـ D تعني بعد الطراز الوراثي أو البيئة عن مركز التفاعل، وإن الطراز الوراثي ذو القيمة الأقل يُعدّ الأكثر استقراراً (Zhang وزملاؤه، 1998)، والموقع ذو القيمة الأعلى بالنسبة لـ D يُعدّ الأكثر قدرة على التمييز بين الطرز الوراثية.

استخدم Purchase وزملاؤه (2000) تحليل AMMI لقياس الاستقرارية، وقد طور مقاييساً للاستقرارية استناداً إلى قيم PCA1 وPCA2 لكل طراز وراثي ولكل بيئة. وسمّاها بقيم AMMI Stability Value (ASV)، واعتمد في حساب هذه القيمة على مجموع

مربعات الانحراف للمكونات الأساسية للبيان PCA1 و PCA2، واستخدم أيضاً معامل W² (W²), ومعامل Shukla في تحليل الاختلافات في الاستقرارية لكل طراز وراثي، فالطراز الوراثي الأعلى قيمة في معامل W² (W²) يُعد الأكثر إسهاماً في التفاعل البيئي الوراثي، وبعد الطراز الوراثي أكثر استقراراً إذا كان أقل تبايناً حسب Shukla.

كما استُخدم تحليل GGE Biplot لدراسة التفاعل البيئي الوراثي، إذ أن تطبيق اختبار GGE Biplot يقدم مجموعة بيانات التجارب للبيئات المتعددة التي تسمح بتحديد عدد من المكونات وعلاقتها:

1. علاقات التفاعل بين الطرز الوراثية والبيئة، والتي تسهل تحديد العلاقات الداخلية بين البيئات، مما يؤدي إلى تحديد أفضل البيئات لاختبار الأصناف (Cooper et al., 1983; Gauch et al., 1997; Rajcan et al., 2002).

2. البيئات التي يمكن أن تُحذف.

3. العلاقات بين الطرز الوراثية التي تسمح بالمقارنة بين الطرز الوراثية، وترتيبها اعتماداً على متوسط إنتاجها وثباتها في كل بيئه.

تم إجراء التحليل الإحصائي باستخدام برنامج GenStat 12th edition GGE Biplot، إذ يتضمن جدول تحليل البيانات مصادر البيانات لكل من الطرز الوراثية (24)، والمواقع (13)، والأثر المشترك لهما، وتشكل بمجموعها المعاملات، إضافة إلى القطاعات والمكونات الأساسية للبيان المتبقي (IPCA) المعنوية، والخطأ والمتبقي.

النتائج والمناقشة

تحليل AMMI

تم إجراء تحليل AMMI لصفة الغلة الحبية لـ 24 طرازاً وراثياً، في 13 موقعًا (الجدول 1)، وقد أشارت نتائج التحليل إلى أن التباين التراكمي لكل من التباين البيئي والطرز الوراثية والتفاعل البيئي الوراثي كان على المعنوية ($P < 0.01$) . ويشير تجزيء مجموعة مربعات الانحراف الكلي لمصفوفة التفاعل البيئي الوراثي إلى أن 0.382 %، و 95.504 %، و 1.869 % من التباين الكلي المحسوب كان للاختلافات بين الطرز الوراثية والمواقع والتفاعل البيئي الوراثي على التوالي. وأن النسبة المترقبة لمتوسط مربعات الموضع (MS) يدل على تنوع المواقع واختلافها. إن الاختلافات بين متوسطات المواقع أدت إلى معظم التباين في صفة الغلة الحبية.

كما تشير النتائج إلى معنوية التباين البيئي الوراثي، ويشير تحليل AMMI إلى أن التباين الذي تفسره أول خمسة محاور لتحليل PCA كانت معنوية ($P < 0.01$) ، إذ فسرت هذه المحاور نحو 67 % من تباين التفاعل البيئي الوراثي. وأن مجموع درجات حرية هذه المحاور تشكل درجات حرية المتبقي والتي لم تفسر بالتحليل، وهذا ما يميزها عن الخطأ التجاري.

الجدول 1. تحليل تباين التأثيرات الرئيسية والتفاعل المتعدد AMMI لصفة الغلة الحبية للطرز الوراثية والمواقع المدروسة.

مصادر الاختلاف	درجات الحرية df	متوازن المربعات	قيمة المحسوبة F	% للتباين المفسر	النسبة % التراكمية
المعاملات (طرز + موقع + أثر مشترك)	311	17670862	121.74**	97.755	-
الطرز البيئية (24)	23	933324	6.43**	0.382	-
المواقع (13)	12	447425284	294.98**	95.504	-
القطاعات	26	1516786	10.45**	0.701	-
الأثر المشترك	276	380682	2.62**	1.869	-
IPCA ₁	34	1397935	9.63**	0.845	24
IPCA ₂	32	587998	4.05**	0.335	38
IPCA ₃	30	362499	2.5**	0.193	51
IPCA ₄	28	340993	2.35**	0.170	61
IPCA ₅	26	270562	1.86**	0.125	70
المحاور الخامسة الأولى المتبقي	126	89407	0.62ns	0.200	-
الخطأ	598	145152	-	1.544	-

GGE Biplots تحليل ١

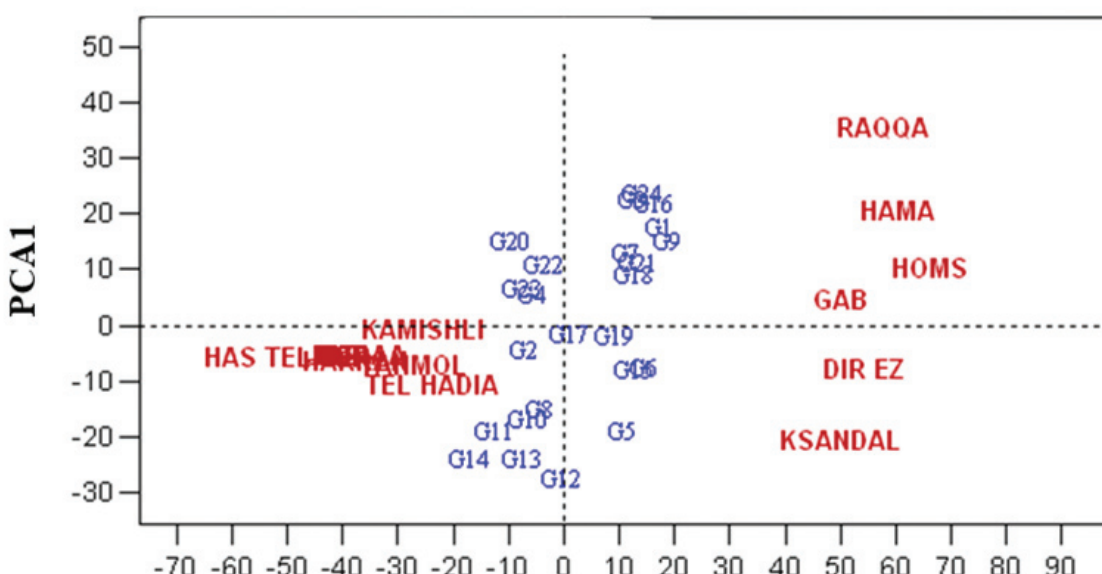
تراوح متوسط الإنتاج للطرز الوراثية بين 92.5 كغ.هـ⁻¹ في موقع تل طير في الحسكة، و9000 كغ.هـ⁻¹ في موقع حمص. إذ إن وجود تأثير التفاعل البيئي الوراثي يجعل من الصعب التربة للتكيف الواسع. وقد تم توصيف التفاعل البيئي الوراثي، من خلال تحليل AMM1 Biplot باستخدام متosteats الإنتاج للطرز الوراثية والموقع وقيم PCA1 (الشكل 1). وفسّر Biplot 99% من مجموعة مربّعات الانحراف للمعاملات، وهذا مناسب لتقسيم التفاعل البيئي الوراثي والتآثرات الرئيسة، وقد حدّدت التفاعلات في Biplot باستخدام المواقع النسبية للطرز الوراثية والموقع، فقد لوحظ التفاعل السلبي الذي يشير إلى الإنتاج المنخفض للطرز الوراثية G12 (دوما 48145)، وG13 (دوما 48096)، وG14 (دوما 48228) والتي أخذت قيمًا سلبية على المحور PCA1 في موقع الرقة وحماء وحمص والغاب، ذات القيمة الموجبة على المحور PCA1، في حين أخذت طرز أخرى، مثل G9 (دوما 48114)، وG24 (شام 10)، قيمًا موجبة على المحور ذاته وفي المواقع نفسها (الشكل 1). فقد بلغ إنتاج الطرز الوراثية المذكورة في موقع الرقة (دوما 48114)، وG24 (شام 10)، قيمًا موجبة على المحور ذاته وفي المواقع نفسها (الشكل 1). أما في موقع حمص فقد بلغ الإنتاج 7955، 6777، 8260، 5821.4، 5711، 5512 كغ.هـ⁻¹، وفي موقع حماة 9529، 6736.3، 6190.9 كغ.هـ⁻¹.

كغ.هـ⁻¹ على التوالي، إلا أن متوسط إنتاج الأصناف الثلاثة في كل المواقع بلغ 4339، 4238، 4038 كغ.هـ⁻¹ على التوالي.

للحظ التفاعل الإيجابي لهذه الطرز الوراثية الثلاثة في موقع كفر صندل وتل حديا، إذ أداءها الإنتاجي كان مرتفعاً مقارنة بالطرز الوراثية الأخرى، فقد بلغ الإنتاج للطرز الثلاثة المذكورة في موقع كفر صندل 6125، 6124، 6694، 5928 كغ.هـ⁻¹، وفي موقع تل حديا 3171، 3288، 2751، 2751 كغ.هـ⁻¹ على التوالي. ويُلاحظ بشكل عام أن الطرز الوراثية G12 (دوما 48145)، وG13 (دوما 48096)، وG14 (دوما 48228) ذات القيمة السالبة لـPCA، والطرز الوراثي G24 (شام 10) ذو القيمة الموجبة لـPCA1 كانت الأكثر إسهاماً في التفاعل البيئي الوراثي. بينما كانت الطرز الوراثية G7 (دوما 48090)، وG19 (دوما 48335) الأقل إسهاماً في التفاعل البيئي الوراثي، لأنهما الأقرب لمركز الإحداثيات (الشكل 1)، وأسهمت بقية الطرز الوراثية بشكل منخفض في التفاعل البيئي الوراثي.

كانت موقع الحسكة (تل طير)، وتل حديا، وكفر صندل، ويعمول، والقامشلي، وإزرع الأقل إنتاجاً، والأكثر إسهاماً في التفاعل البيئي الوراثي، إذ أخذت قيمًا منخفضة بالنسبة لـPCA1، بينما يلاحظ أن موقع الرقة وحماء وحمص والغاب ذات القيمة الموجبة بالنسبة لـPCA1. وموقعي كفر صندل وتل حديا ذات القيم السالبة لـPCA1 تمثل لأن تأخذ الإسهام الأعلى في التفاعل البيئي الوراثي (الشكل 1).

$$E=97.7\%, G=0.39\%, \text{IPC1}=0.9\%, \text{sum}=99\%$$

**التآثرات الرئيسة**

حيث: E: البيئة، G: الطرز الوراثية، IPC1: المكون الأساس الأول من مكونات التباين البيئي الوراثي، sum: مجموع التباين المفسّر

الشكل 1. تحليل ١ Biplot للإنتاج الحبّي لطرز وراثية من القمح الطري ومواقع مختلفة في سوريا استناداً إلى المكون الأول من مكونات التباين البيئي الوراثي .PCA1

تحليل الثباتية الوراثية للطرز الوراثية :

تقدم قيم PCA للطرز الوراثية مؤشراً على الاستقرار الوراثي عبر البيئات (Grausgruber 1997؛ Annicchiarico 2000)، ويظهر الجدول 2 القياسات الإحصائية الوراثية، وترتيب الطرز الوراثية على أساس هذه المؤشرات. ولوحظ في هذه الدراسة أن أقل قيمة من قيم PCA1 كانت للطراز الوراثي G17 (دوما 48286)، تلاه الطراز G19 (دوما 48335)، وG2 (شام 6)، وG4 (دوما 48034). بينما كان الطراز الأقل قيمة على أساس PCA2 هو G17 (دوما 48286)، تلاه الطراز G16 (شام 8)، ثم G1 (بحوث 6)، وG10 (دوما 48115) (الجدول 2). كما يلاحظ أن الطراز الوراثي G17 (دوما 48286) كان الأفضل من ناحية الاستقرار الوراثي، إلا أن ترتيبه هو الثالث عشر في متوسط الإنتاج، بينما كان الطراز G1 (بحوث 6) هو الأفضل من ناحية الإنتاج، وبأعلى ترتيبه في المرتبة الثالثة في الاستقرار الوراثي، كذلك الطراز الوراثي G16 (شام 8) الذي كان ترتيبه الثالث في الإنتاج، والثاني في الاستقرار الوراثي على المحور الثاني PCA.

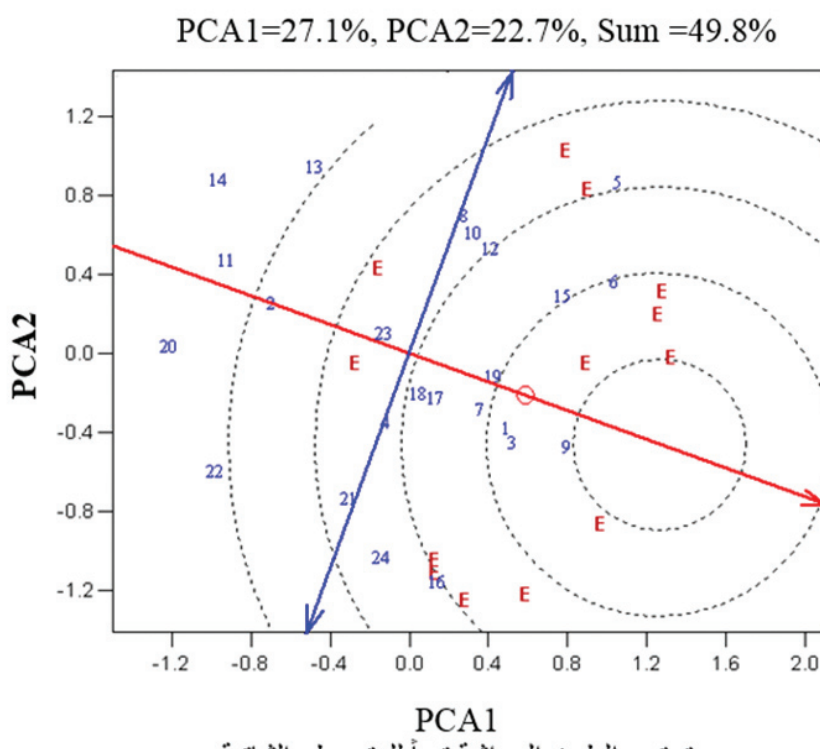
يتبيّن من تحليل GGE Biplot أن أفضل طراز وراثي مثالي لجميع البيئات ومستقر وراثياً هو الطراز G9 (دوما 48114) وهو الأقرب لمركز الدوائر، تلاه الطراز G3 (دوما 48010)، فالطراز G1 (بحوث 6). إذ أن الطراز الوراثي G9 (دوما 48114) أتى في المرتبة الأولى في الإنتاج، بالإضافة إلى أنه مستقر وراثياً، فقد بلغ متوسط إنتاجه 4624 كغ.هـ⁻¹، تلاه الطراز الوراثي G1 (بحوث 6) الذي بلغ إنتاجه 4576 كغ.هـ⁻¹ (الشكل 2). ويلاحظ من قيمة الاستقرارية لـ AMMI (ASV) كمؤشر على أن الطرازين الوراثيين G17 (دوما 48286)، وG18 (دوما 48324) أخذَا أقل قيمة ما يدلّ على أنهما الأكثر استقراراً من بين الطرز الوراثية في جميع المواقع. فيما يلاحظ أن الطرازين الوراثيين G12 (دوما 48145)، وG3 (دوما 48010) هما الأقل استقراراً وراثياً.

الجدول 2. متوسط الإنتاج الوراثي والمؤشرات الإحصائية، وترتيبها لـ 24 طرازاً وراثياً من القمح الطري.

الطرز الوراثية	متوسط إنتاج	PCA1	PCA2	W ²	Shukla	ASVi	Di	الترتيب
G1	4576	-14.09	-1.02	1401540	12	121644	16	12
G2	4263	3.71	-4.81	773096	5	64513	3	6
G3	4454	-17.95	22.24	2606430	23	231180	23	21
G4	4288	-4.46	1.50	658634	4	54107	4	4
G5	4419	15.30	10.78	1450662	13	126110	17	11
G6	4502	6.27	11.93	823856	7	69127	8	8
G7	4433	-10.20	14.03	1336930	11	115770	10	13
G8	4310	12.32	8.51	1470340	14	127899	13	17
G9	4624	-11.98	2.33	934756	9	79209	12	9
G10	4260	13.65	1.03	900208	8	76068	15	5
G11	4096	15.32	-14.27	1535496	15	133822	18	14
G12	4339	22.19	-12.92	2729064	24	242328	24	19
G13	4238	19.34	-2.88	2600765	22	230664	21	22
G14	3938	19.44	10.64	2493478	21	220911	22	20
G15	4438	6.44	-3.67	638149	3	52245	6	1
G16	48228	15.32	0.58	2358115	20	208605	19	24
G17	4349	1.42	-0.32	373970	1	28229	1	3
G18	4440	-7.33	-1.64	588808	2	47759	7	2
G19	48335	1.71	5.44	817270	6	68529	2	7
G20	4185	-12.12	-14.28	2229454	19	196909	14	23
G21	4451	-8.96	-12.67	1024285	10	87348	9	10
G22	4306	-8.66	-19.74	1577997	16	137686	11	15
G23	4237	-5.06	8.44	1627061	17	142146	5	18
G24	4466	-18.88	-9.22	2077151	18	183063	20	16

PCA1 و PCA2 المكونان الأوليان الأساسيان، W²، Shukla، ASVi، و Di: المؤشرات الإحصائية المستخدمة لتقدير الاستقرارية، والتباين البيئي الوراثي.

استخدمت أيضاً طريقة Zhang وزملائه (1998) لتقدير المسافة الوراثية للطرز الوراثية، اعتماداً على قيم PCA، فقد تراوحت قيم D بين الطرز الوراثية من 8.54 إلى 30.62 (الجدول 2)، ولوحظت قيمة منخفضة لـ D لكل من الطرز الوراثية G15 (دوما 48232)، وG18 (دوما 48324)، وG17 (دوما 48286)، وG4 (دوما 48034)، وG10 (دوما 48115)، وبالنالي فهي الطرز الأقل استقراراً وراثياً من بين الطرز المدروسة وفق هذا المؤشر. بينما لوحظت قيمة مرتفعة لـ D لدى الطرز الوراثية G16 (شام 8)، وG20 (دوما 48375)، وG13 (دوما 48096)، وG3 (دوما 48010)، وG14 (دوما 48228)، وبالتالي كانت أكثر الطرز الوراثية ثباتاً وفق هذا المؤشر. وُجِد أن الطرز الوراثي الأفضل هو الطرز G9 (دوما 48114)، وG1 (دجوت 6)، الذي يجمع بين الإنتاج العالي والاستقرارية على أساس قيمة D.. أما حسب Shukla فيلاحظ أن أكثر الطرز الوراثية التي كانت مستقرة وراثياً هي G17 (دوما 48286)، وG18 (دوما 48324)، وG15 (دوما 48232)، وG4 (دوما 48034). بينما كانت الطرز الوراثية G12 (دوما 48145)، وG3 (دوما 48010)، وG13 (دوما 48096)، وG14 (دوما 48228) هي الأقل استقراراً وراثياً بين الطرز المدروسة. وقد توافقت نتائج اختبار Wricke's تماماً مع نتائج اختبار Shukla (الشكل 2).



الشكل 2. تحليل GGE Biplot للإنتاج الحبلي لطرز وراثية من القمح الطربي ومواقع مختلفة في سوريا، استناداً إلى المكونين الأول والثاني من مكونات التباين البيئي الوراثي PCA2 و PCA1 يبين الطرز المثالي المتافق.

يُعبّر بشكل عام عن التفاعل كنفيه في ترتيب إنتاج الطرز الوراثية عبر المواقع والسنوات. والطرز الوراثية التي تقيّم في مدى واسع من البيئات دائمًا تتأثر بالتفاعل البيئي الوراثي. إن الهدف الأساس من تجارب البيئات المتعددة في برامج التربية هو تقدير الثباتية الوراثية، لذا يعد التفاعل البيئي الوراثي مهمًا من أجل تحديد الأداء والتكييف، وبالتالي فإن التقييم المستند إلى عدة سنوات وعدة مواقع، يعد ضروريًا في استراتيجيات برامج التربية. إذ أن المزارعين في الدول النامية الذين يتعرضون لظروف زراعتهم لظروف قاسية وغير متوقعة يحتاجون إلى طرز وراثية مستقرة وراثياً (Amriq و Mohammadi, 2008)، وفي هذه الحالات يوصى بالحصول على طرز وراثية ذات أداء جيد ومستقرة وراثياً. ويساعد تحليل التفاعل البيئي الوراثي على توصيف استجابة الطرز الوراثية للتغير في البيئات، وتحديد أفضل موقع يمثل التنوع في البيئات في المناطق الرئيسية لأي محصول.

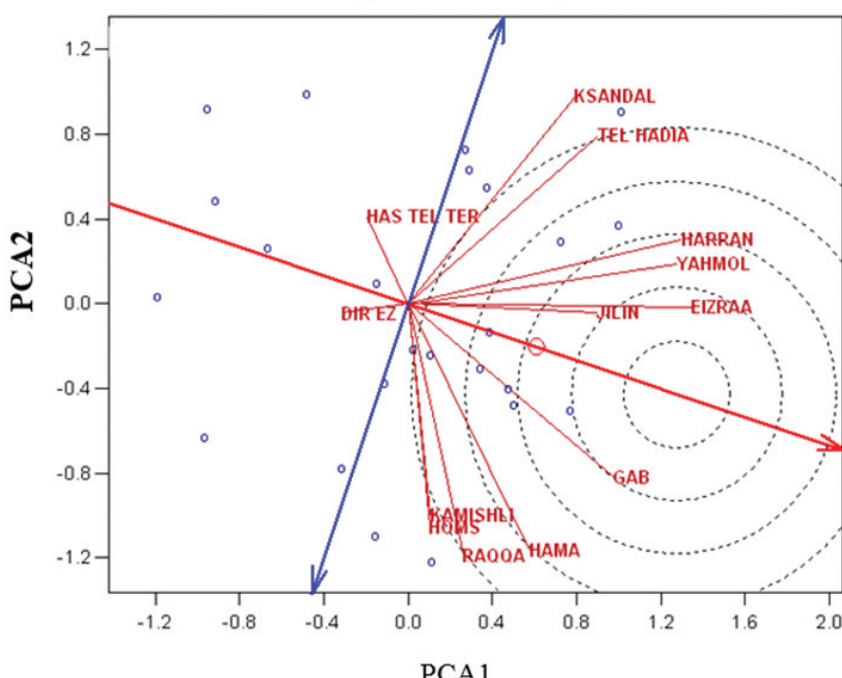
استخدم تحليل GGE Biplot بكفاءة في توصيف التفاعل البيئي الوراثي في تجارب البيئات المتعددة للقمح الطربي، فقد استخدم في هذه الدراسة Biplot PCA2 و PCA1 لتحديد العلاقات بين الطرز الوراثية والمواقع كما فعل العديد من الباحثين (Zobel وزملاؤه، 1988؛ Yan، 1999؛ Suadric، 2006؛ Vargas وزملاؤه، 1999؛ Yan، 2000؛ Rajcani و Yan، 2002؛ Gauch و Ebdon، 2002؛ Li وزملاؤه، 2006).

وزملاؤه، 2006؛ Ortiz وزملاؤه، 2007). إذ يسهل استخدام هذا التحليل من رؤية ووصف نماذج العلاقات المختلفة للطرز الوراثية والموقع المدروسة. واستخدم في الدراسة أول مكونين فقط من مكونات التباين الناتج عن التفاعل البيئي الوراثي، على الرغم من أن بقية المكونات معنوية كما ذكر آنفًا، وبما أن PCA3 وPCA4 كانت معنوية، فقد استخدم المؤشر الاحصائي Di المرتبط بتحليل الـ AMMI، وبالتالي كان استخدامه مفيدًا، وبيّنت قيمة Di في هذه الدراسة أن التفاعل البيئي الوراثي لكل طراز وراثي وكل موقع كان متباهيًّا (الجدول 2).

تحليل الثباتية البيئية:

أشارت نتائج تحليل الـ GGE Biplot إلى أن نحو 5% من التباين الموجود في البيانات أمكن تفسيره، وتهدف دراسة الثباتية البيئية إلى إيجاد ذلك الموقع الذي يستطيع أن يميز بين الطرز الوراثية المختلفة على أساس التباين الوراثي فيما بينها، ويكون الطراز المنتخب في هذا الموقع ممثلاً للمتوسط العام للبيئات.

$$\text{PCA1}=27.1\%, \text{PCA2}=22.7\%, \text{Sum}=49.8\%$$



ترتيب الواقع المختبرة تبعًا لقابلية تمييزها للطرز الوراثية وتمثيلها للبيئة المثالية

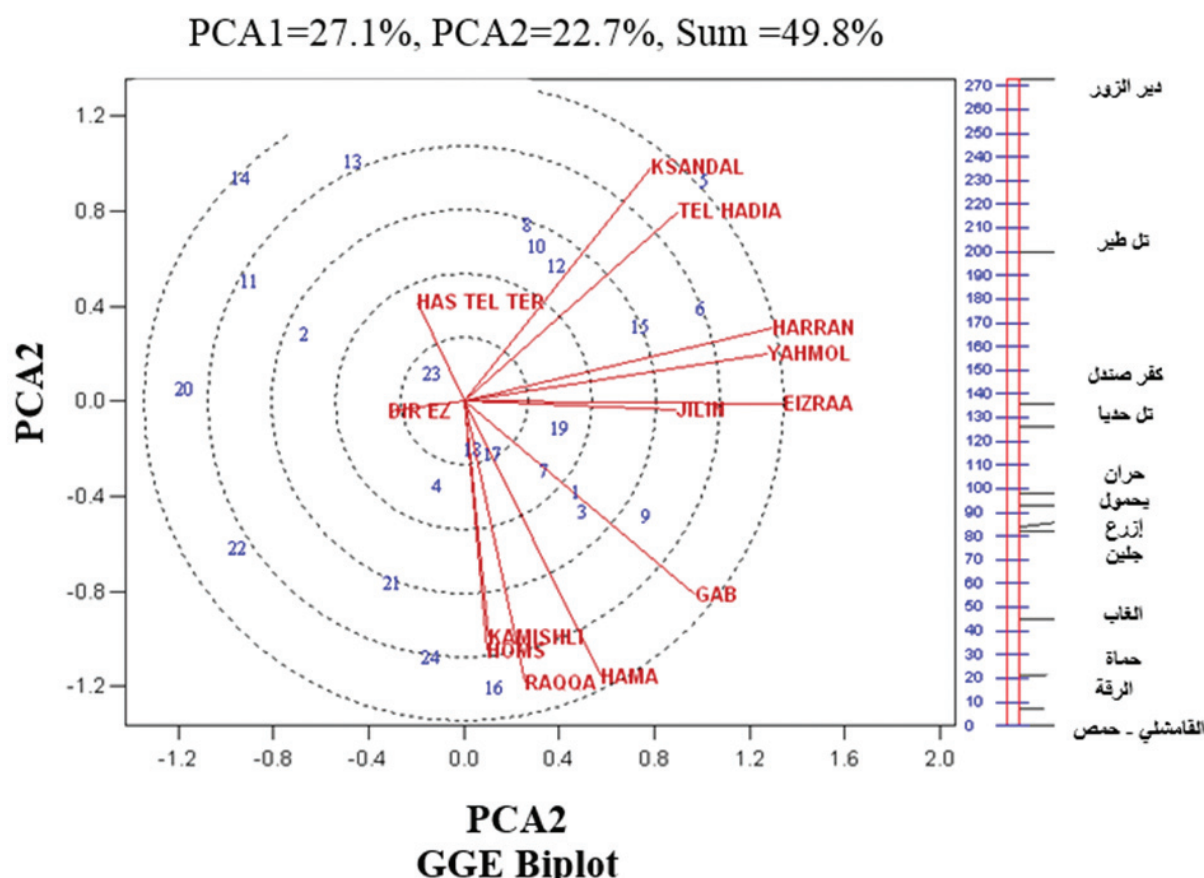
الشكل 3. تحليل الـ Biplot GGE للإنتاج الحبلي لطرز وراثية من القمح الطري وموقع مختلفة في سوريا، استنادًا إلى المكونين الأول والثاني من مكونات التباين البيئي الوراثي PCA2 و PCA1 بين الموقع المثالي لتقييم الطرز الوراثية.

واستنادًا إلى تحليل الـ GGE Biplot ينبغي أن يكون مسقط هذا الموقع أعلى ما يمكن على المحور الأفقي PCA1، وأدنى قيمة على المحور العمودي PCA2، وعليه يتضح من الشكل 3 أن موقع إزرع والغالب وجلين، تعد أفضل المواقع لتقييم الطرز الوراثية، كونها تقع ضمن دائرة واحدة وقريبة من الموقع المثالي الذي يمثل مركز الدوائر مجتمعة، إذ تعد الفروقات بين الطرز الوراثية في هذه الموقع على أساس وراثي، وانتخاب أي طراز وراثي سوف يكون ممثلاً لانتخاب الطرز الوراثية في الواقع الأخرى إذ يمثل الموقع المثالي في الشكل 3 بالدائرة الصغيرة التي يمر من خلالها السهم المار من مركز الدوائر، وبالتالي فإن الموقع الأقرب إلى مركز الدائرة يكون هو الموقع المثالي لتقييم الطرز الوراثية.

تقسيم الواقع المدروسة إلى مجموعات متشابهة في تأثيرها في الطرز الوراثية:

تم تنفيذ تحليل الـ Biplot لفهم العلاقات القائمة بين الطرز الوراثية والواقع في تجارب القمح الطري، باستخدام أول محورين أساسيين يشرحان تباين التفاعل البيئي الوراثي PCA1 و PCA2 (الشكل 4). وتشير النتائج في هذا التحليل إلى أن موقع الرقة وحمامة وحمص والقامشلي تمثل لأن تكون منفصلة عن بقية الواقع، وكانت بيئات مميزة لاختيار الطرز الوراثية G24 (شام 10)، وG16 (شام 8)، وG21 (دوما 48416)، التي تعد من الطرز الأعلى إنتاجاً في هذه الواقع، فيما يلاحظ بأن موقع كفر صندل وتل حدياً ارتبطاً مع الطرز الوراثي G5 (دوما 48055) الأعلى إنتاجاً في هذين الموقعين. كما يتضح من الشكل 4 أن الطرازين G17 (دوما 48286)، وG18 (دوما 48324)، وموقعي الحسكة ودير الزور كانوا الأقل إسهاماً في التفاعل البيئي الوراثي (بسبب قربهما من المركز الذي يمثل المتوسط العام للطرز والواقع). كما يلاحظ أن الطرز الوراثية G16

(شام 8)، وG21 (دوما 48416)، وG22 (دوما 48485)، وG24 (شام 10)، وG13 (دوما 48096)، وG14 (دوما 48228)، وG5 (دوما 48055) وكذلك مواقع كفر صندل، وتل حديا، والغالب، وحمص، والقامشلي، وحماة، والرقة، كانوا الأكثر تأثيراً في التفاعل البيئي الوراثي.



الشكل 4. تحليل الـ **Biplot GGE** لتحديد العلاقة بين طرز القمح الطري المدروسة ومواقع التجارب في سوريا، استناداً إلى المكونين الأول والثاني من مكونات التباين البيئي الوراثي **PCA2** و**PCA1** يبين الموقع المثالي لتقييم الطرز الوراثية.

تظهر نتائج تحليل تفاعل الطرز الوراثية للقمح الطري مع الواقع إمكانية تقسيم هذه المواقع، إذ تم تحديد مجموعتين تؤثران بشكل متشابه في الطرز الوراثية، ضمت الأولى موقع حماة والرقة وحمص والغالب والقامشلي، أما المجموعة الثانية فضمت موقع جلين وكفر صندل ويحمل وإزرع وتل حديا وحران، فيما بقي موقع دير الزور وتل طير، بحيث انفرد كل منها في تأثيره في الطرز الوراثية (الشكل 4). ينبغي أن تكون البيئات أو الواقع المختارة في التجارب التي تزرع في مناطق مختلفة، ممثلة لخصائص المنطقة، إذ أن اختيار الواقع لا ينبغي أن يكون على أساس عدد المواقع، وإنما على أساس نوعية هذه الواقع التي تمثل البيئات المختلفة (Morrison and Lin, 1992). وقد استخدم تحليل **Biplot** في هذا البحث لفصل الواقع التي تسهم بشكل كبير في التفاعل البيئي الوراثي مقارنة بتلك الواقع التي يعد إسهامها أقل. كما استخدم هذا التحليل والمؤشرات الإحصائية الأخرى في تفسير إسهام الطرز الوراثية بشكل دقيق في التفاعل البيئي الوراثي، وظهر من خلال تحليل **AMMI** أن الطرز AMMI 1 (بحوث 6) كان متتفوقاً في ثمانية مواقع، هي حماة والرقة وجلين والغالب والقامشلي وإزرع وحران وتل طير، كذلك الطرز الوراثي G9 (دوما 48114)، فقد تكرر وجوده بشكل متتفوق في سبعة مواقع، مما يدل على أن هذين الطرززين يملكان مدى واسعاً من التأقلم في البيئات الجيدة وفي البيئات المجهدة (الجدول 3). وقد لوحظ أن نسبة التحسين للطرز الوراثية في البيئات غير الملائمة أعلى منه في حالة البيئات الملائمة، وهذه النتيجة تقييد في أن انتخاب السلالات في البيئات غير الملائمة سوف يفيد في تحسين الإنتاج بشكل أكبر منه في حالة البيئات الملائمة بالنسبة للقمح الطري.

الجدول 3. تجميع المواقع المدروسة من خلال استخدام الطرز الوراثية المتفوقة في الإنتاج، والتحسين المتوقع باستخدام أول أربعة طرز وراثية في كل موقع تم اختيارها على أساس تحليل AMMI.

التحسين في صفة الإنتاج (كغ.هـ ⁻¹) لأول أربعة طرز وراثية				أول أربعة طرز وراثية تم الحصول عليها من تحليل AMMI										الموقع
الرابع	الثالث	الثاني	الأول	GY	الرابع	GY	الثالث	GY	الثاني	GY	الأول	المتوسط		
626	664	731	888	7844	شام ₁₀	7882	بحوث ₆	7949	شام ₈	8106	دوما ₄₈₀₁₀	7218	حمة	
815	865	873	926	7609	دوما ₄₈₃₇₅	7659	دوما ₄₈₁₁₄	7667	بحوث ₆	7720	دوما ₄₈₀₁₀	6794	الرقة	
418	425	453	614	6961	دوما ₄₈₁₁₆	6968	دوما ₄₈₄₈₅	6996	دوما ₄₈₄₁₆	7157	دوما ₄₈₁₄₅	6543	دير الزور	
191	194	222	251	2385	بحوث ₆	2388	دوما ₄₈₁₁₄	2416	دوما ₄₈₀₅₅	2445	دوما ₄₈₀₈₃	2194	جلين	
556	639	804	1051	8445	دوما ₄₈₄₁₆	8528	دوما ₄₈₁₁₄	8693	دوما ₄₈₄₈₅	8940	شام ₈	7889	حمص	
289	331	426	457	6690	دوما ₄₈₃₃₅	6732	بحوث ₆	6827	شام ₈	6858	دوما ₄₈₀₁₀	6401	الغالب	
377	609	701	741	6247	دوما ₄₈₁₄₅	6479	دوما ₄₈₀₈₃	6571	دوما ₄₈₀₉₆	6611	دوما ₄₈₀₅₅	5870	كفر صندل	
141	143	231	239	3131	شام ₄	3133	دوما ₄₈₁₁₄	3221	دوما ₄₈₀₅₅	3229	دوما ₄₈₀₈₃	2990	يحمول	
169	195	223	229	3198	شام ₁₀	3224	دوما ₄₈₄₁₆	3252	دوما ₄₈₁₁₄	3258	بحوث ₆	3029	القامشلي	
160	201	201	228	2507	دوما ₄₈₁₁₄	2548	بحوث ₆	2548	دوما ₄₈₀₅₅	2575	دوما ₄₈₀₈₃	2347	ازرع	
163	225	261	264	3235	دوما ₄₈₂₃₂	3297	دوما ₄₈₀₈₃	3333	دوما ₄₈₀₅₅	3336	دوما ₄₈₁₄₅	3072	تل حديا	
130	191	249	263	2248	بحوث ₆	2309	دوما ₄₈₁₁₄	2367	دوما ₄₈₀₅₅	2381	دوما ₄₈₀₈₃	2118	حران	
151	156	187	193	299.9	دوما ₄₈₀₈₃	305.2	دوما ₄₈₁₁₄	336	بحوث ₆	341.5	دوما ₄₈₁₄₅	149	تل طير	

GY: Grain Yield (كغ.هـ⁻¹) (النلة الحية كغ.هـ⁻¹)

الاستنتاجات والمقترحات

- تُعدّ موقع إزرع والغالب وجلين أفضل المواقع المختبرة لتقدير الطرز الوراثية.
- قسمت الدراسة الواقع إلى مجموعتين رئيسيتين: ضمت الأولى موقع حمة والرقة وحمص والغالب والقامشلي، أما المجموعة الثانية فضمت موقع جلين وكفر صندل وإزرع وتل حديا وحران، فيما انفرد موقع دير الزور وتل طير كل منهما في تأثيره في الطرز الوراثية.
- أشارت الدراسة إلى إمكانية تحسين عملية انتخاب الطرز الوراثية باستخدام طريقتي التحليل (AMMI) و(GGE Biplot) تحت ظروف الموقع المختلفة التي تم فيها تجارب البيئات المعددة.
- يملك البحث أهمية تطبيقية، إذ يسهم في تحسين تربية القمح الطري، مما ينعكس إيجاباً في إيجاد طرز وراثية متكيفة لظروف كل مجموعة من مجموعات الموقع التي تم تحديدها، إضافةً إلى تخفيض تكاليف البحث من خلال اختصار عدد مواقع الاختبار في موقع مثالي يمثل موقع الدراسة، أو موقع مثالي لكل مجموعة مواقع.
- أشار البحث إلى وجود مجموعة من الطرز الوراثية المتفوقة في الإنتاجية المستقرة وراثياً، مثل بحوث 6 ودوما 48114 والتي يمكن الاستفادة منها في برامج التربية.

المراجع

- حكيم، محمد شفيق، وعثمان عبد الله، ومحمد جمال حمندوش، ومحمد وليد العك، وخالد الشريدة. 2010. تقييم التفاعل الوراثي البيئي لبعض الطرز الوراثية من القمح الطري (*Triticum aestivum* L.). مجلة بحوث جامعة حلب، سلسلة العلوم الزراعية، 84: 47-29.
- خضر، خالد، وسيفاطوري شيكاريالي، وغسان ناعسة، وعبد اللطيف العساف. 2006. دراسة تفاعل الطرز الوراثية للشعير مع البيئة لتحديد إمكانية تمييز مناطق فرعية في مناطق زراعة الشعير في سوريا. مجلة بحوث جامعة حلب، سلسلة العلوم الزراعية. العدد: 59.
- خضر، خالد، وسيفاطوري شيكاريالي، وغسان ناعسة، وعبد اللطيف العساف. 2007. تحديد بيئات الاختبار الملائمة لتقدير الطرز الوراثية للشعير في سوريا. مجلة جامعة تشرين للبحوث والدراسات العلمية، سلسلة العلوم البيولوجية. العدد: 1، المجلد: 29.
- المجموعة الإحصائية الزراعية السنوية. 2014. قسم الإحصاء، مديرية الإحصاء، وزارة الزراعة والإصلاح الزراعي، الجمهورية العربية السورية.
- Annicchiarico, P. 1997. Joint regression vs AMMI analysis of genotype– environment interactions for cereals in Italy. *Euphytica*, 94:53–62.
- Atlin, G.N., K.B. McRae and X. Lu. 2000. Genotype x region interaction for two-row barley yield in Canada. *Crop Science*, 40:1- 6.
- Baker, R.J. 1988. Tests for crossover genotype-by-environment interactions. *Can. J. Plant Science*, 68: 405-410.
- Burdon, R.D. 1977. Genetic correlation as a concept for studying genotype- environment interaction in forest tree breeding. *Silvae Genet.*, 26:168–175.
- Cooper, J.C.B. 1983. Factor analysis: An overview. *Am. Statis.*, 37:141- 147.
- Cooper, M., and D.E. Byth. 1996. Understanding plant adaptation to achieve systematic applied crop improvement: A fundamental challenge in: Cooper M. ad G.L. Hammer (Eds). *Plant Adaptation and Crop Improvement*. CAB International, Wallingford, UK: 5- 23.
- Dixon, J., H.J. Braun, P. Kosina and J. Crouch. 2009. *Wheat Facts and Futures*. Mexico, D.F.CIMMYT.
- Ebdon, J.S., and H.G. Gauch. 2002. Additive main effects and multiplicative interaction analysis of National Turfgrass performance trials: II. Genotype recommendation. *Crop Sci.*, 42:497–506.
- Eberhart, S.A., and W.A. Russell. 1966. Stability parameters for comparing varieties. *Crop Sci.*, 6:36–40.
- Fan, L.J., B.M. Hu, C.H. Shi and J.G. Wu. 2001. A method of choosing locations based on genotype × environment interaction for regional trials of rice. *Plant Breed*, 120:139–142.
- FAO. 2014. Statistical (FAOSTAT), Food and Agriculture organization of the United Nations. Website: <<http://faostat.fao.org>>.
- Finlay, K.W., and G.N. Wilkinson. 1963. The analysis of adaptation in a plant-breeding programme. *Aust. J. Agric. Res.*, 14:742- 754.
- Gauch, H.G. 1992. Statistical analysis of regional yield trials: AMMI analysis of factorial designs, Elsevier, Amsterdam.
- Gauch, H.G., and R.W. Zobel. 1997. Identifying mega- environments and targeting genotypes. *Crop Science*, 37: 311- 326
- Grausgruber, H., M. Oberforster, M. Werteker, P. Ruckenbauer, and J. Vollmann. 2000. Stability of quality traits in Austrian grown winter wheats. *Field Crops Res.*, 66:257–267.
- Gupta, P.K., R.R. Mir, A. Mohan and J. Kumar. 2008. Wheat Genomics: present status and future prospects. *Internat J Plant Genomics*. Special issue on genomics of Major Crops and Model Plant Species, Hindawi Pub Corp, USA (In press), 5: 73.
- Isik, K., and J. Kleinschmit. 2005. Similarities and effectiveness of test environments in selecting and deploying desirable genotypes. *Theor. Appl. Genet.*, 110:311- 322.
- Kang, M.S. 1993. Simultaneous selection for yield and stability in crop performance trials: consequences for growers. *Agron. J.*, 85:754- 757.

- Li, W., Z.H. Yan, Y.M. Wei, X.J. Lan and Y.L. Zheng. 2006. Evaluation of genotype \times environment interaction in Chinese spring heat by the AMMI model, correlation, and path analysis. *J. Agron. Crop Sci.*, 192:221- 227.
- Lin, C.S., and M.R. Binns. 1988. Procedural approach for assessing cultivar– location data: Pairwise genotype– environment interactions of test cultivars with checks. *Can. J. Plant Sci.*, 65:1065- 1071.
- Lin, C.S., and M.J. Morrison. 1992. Selection of test locations for regional trials of barley. *Theor. Appl. Genet.*, 83:968–972.
- Lubbers, E.L. 2003. Evaluation of cotton breeding test environments in the Southeast United States, p. 791807-. In Proc. Beltwide Cotton Conf., National Cotton Council of America, Memphis, TN.
- Mohammadi, R., and A. Amri. 2008. Comparison of parametric and non- parametric methods for selecting stable and adapted durum wheat genotypes in variable environments. *Euphytica*, 159:419- 432.
- Ortiz, R., J. Crossa, M. Vargas and J. Izquierdo. 2007. Studying the effect of environmental variables on the genotype \times environment interaction of tomato. *Euphytica*, 153:119- 134.
- Purchase, J.L., H. Hatting and C.S. Van Deventer. 2000. Genotype \times environment interaction of winter wheat in South Africa: II. Stability analysis of yield performance. *S. Afr. J. Plant Soil*, 17:101- 107.
- Suadric, A., D. Simic and M. Vratic. 2006. Characterization of genotype by environment interactions in soybean breeding programmes of southeast Europe. *Plant Breed.*, 125:191–194.
- Trethowan, R.M., M Van Ginkel, K. Ammar, J. Crossa, T.S. Payne, B. Cukadar, S. Rajaram and E. Hernandez. 2003. Associations among twenty years of international bread wheat yield evaluation environments. *Crop Science*, 43: 1698- 1711.
- Vargas, W., J. Crossa, F.A. Van Eeuwijk, M.E. Ramirez and K. Sayre. 1999. Using partial least squares regression, factorial regression, and AMMI models for interpreting genotype-by environment interaction. *Crop Sci.*, 39:955–967.
- Wricke, G. 1962. Über eine methode zur erfassung der ökologischen streubreite in feldversuchen. *Z. Pfl Anzenzuecht*, 47:92–96.
- Yan, W. 1999. A study on the methodology of yield trial data analysis with special reference to winter wheat in Ontario. PhD thesis. Univ. of Guelph, ON, Canada.
- Yan, W., L.A. Hunt, Q. Sheng and Z. Szlavnics. 2000. Cultivar evaluation and mega-environment investigation based on the GGE Biplot. *Crop Sci.*, 40:597–605.
- Yan, W. 2001. GGEBiplot a windows application for graphical analysis of multienvironment trial data and other types of two-way data. *Agron. J.*, 93:1111- 1118.
- Yan,W. and L.A. Hunt.2001. Genetic and environmental causes of genotype by environment interaction for winter yield in Ontario. *Crop Science*, 41(1):19- 25.
- Yan, W., and I. Rajcan. 2002. Biplot analysis of test sites and trait relations of soybean in Ontario. *Crop Sci.*, 42:11- 20.
- Yan, W. and M.S. Kang. 2003. GGEBiplot analysis: a graphical tool for breeders, geneticists, and agronomists. CRC press.
- Yang, R., S.F. Blade, J. Crossa, D. Stanton and M.S. Bandara. 2005. Identifying isoyield environments for field pea production. *Crop Science*, 45:106- 113.
- Zhang, Z., C. Lu and Z.H. Xiang. 1998. Stability analysis for varieties by AMMI model. *Acta Agron. Sin.*, 24:304- 309.
- Zobel, R.W., M.J. Wright and H.G. Gauch. 1988. Statistical analysis of a yield trial. *Agron. J.*, 80:388- 393.

Nº Ref: 779